

УДК 534.121.2+539.382.2

М. В. Данилов, кандидат технических наук, докторант

Д. Р. Шишов, аспирант

В. Е. Лялин, доктор технических наук, доктор экономических наук, доктор геолого-минералогических наук, профессор ИжГТУ имени М. Т. Калашникова

МАТЕМАТИЧЕСКОЕ МОДЕЛИРОВАНИЕ ДЕФОРМИРОВАНИЯ ЛЕНТОЧНОГО НОСИТЕЛЯ ИНФОРМАЦИИ ПРИ ЕГО ДИНАМИЧЕСКОМ НАГРУЖЕНИИ

В статье приводится точное решение двумерной плоской задачи динамической теории упругости для тонкой пластины с двумя свободными и двумя нагруженными краями. Исследуется влияние геометрических и механических параметров ленты на высокочастотные колебания. Выведены формулы для определения диапазона частот вибрации.

Ключевые слова: идеально упругая лента, деформация ленты, динамика ленты.

Проведем анализ динамики ленты в случае, когда вектор смещения находится в ее плоскости. Хотя задача о статике ленты полностью охватывает все физические особенности рассматриваемого явления в том диапазоне частот, где происходит возбуждение и современная аппаратура позволяет проводить измерения, тем не менее практически имеем дело с переменными (во времени) силами и вынужденными колебаниями ленты, при которых динамика все же может проявиться в виде поправки к статике. Кроме того, интересно знать, в какой мере геометрические и механические параметры ленты влияют на высокочастотные колебания, т. е. в какой степени меняются эти частоты с изменением физико-механических ее параметров H, l, δ, E, ρ (рис. 1 и 2). Здесь E – модуль Юнга ленты; ρ – вес единицы ее объема; δ – толщина ленты.

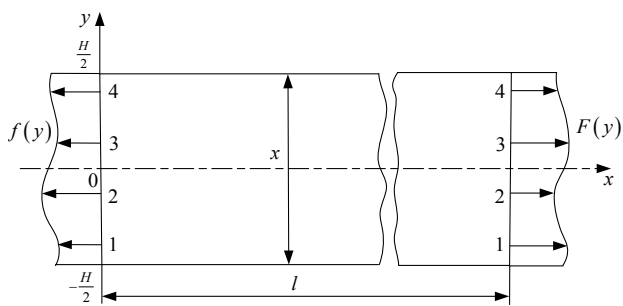


Рис. 1. Распределение действующих сил и геометрические параметры отрезка ленты: $F(y)$ и $f(y)$ – приложенные силы; l – длина ленты; H – ширина ленты

Уравнения движения ленты записываем в виде [1]:

$$\begin{cases} \frac{1}{1-v^2} \frac{\partial^2 u_x}{\partial x^2} + \frac{1}{2(1+v)} \frac{\partial^2 u_x}{\partial y^2} + \frac{1}{2(1-v)} \frac{\partial^2 u_y}{\partial x \partial y} = \frac{1}{c^2} \frac{\partial^2 u_x}{\partial t^2}, \\ \frac{1}{1-v^2} \frac{\partial^2 u_y}{\partial y^2} + \frac{1}{2(1+v)} \frac{\partial^2 u_y}{\partial x^2} + \frac{1}{2(1-v)} \frac{\partial^2 u_x}{\partial x \partial y} = \frac{1}{c^2} \frac{\partial^2 u_y}{\partial t^2}, \end{cases} \quad (1)$$

где $u_x = u_x(x, y, t)$; $u_y = u_y(x, y, t)$; c – скорость продольных волн.

Приводим граничные условия:

$$\sigma_{yy} = 0, \sigma_{xy} = 0 \text{ при } y = \pm H/2;$$

$$\sigma_{xx} = f(y) e^{-i\omega t} / \delta, u_y = 0 \text{ при } x = 0;$$

$$\sigma_{xx} = F(y) e^{-i\omega t} / \delta, u_y = 0 \text{ при } x = l.$$

Решение краевой задачи ищем в виде выражения установившихся монохроматических колебаний: $u_x = v_x(x, y) e^{-i\omega t}$, $u_y = v_y(x, y) e^{-i\omega t}$.

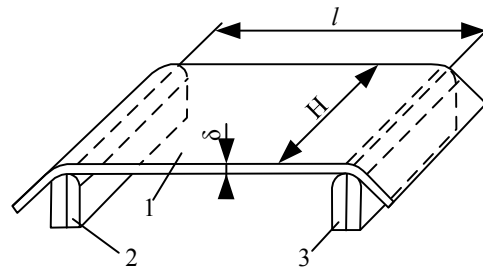


Рис. 2. Отрезок ленты, натянутой на измерительные магнитные головки: 1 – магнитная лента; 2, 3 – измерительные головки; l, H, δ – длина, ширина, толщина ленты

Подставляя значения в уравнения (1), получаем:

$$\begin{cases} \left(\frac{1}{1-v^2} \frac{\partial^2}{\partial x^2} + \frac{1}{2(1+v)} \frac{\partial^2}{\partial y^2} + \frac{\omega^2}{c^2} \right) v_x + \left(\frac{1}{2(1-v)} \frac{\partial^2}{\partial x \partial y} \right) v_y = 0, \\ \left(\frac{1}{2(1-v)} \frac{\partial^2}{\partial x \partial y} \right) v_x + \left(\frac{1}{1-v^2} \frac{\partial^2}{\partial y^2} + \frac{1}{2(1+v)} \frac{\partial^2}{\partial x^2} + \frac{\omega^2}{c^2} \right) v_y = 0. \end{cases} \quad (2)$$

Далее переменные рассматриваем относительно граничных условий. Согласно закону Гука, компоненты тензора напряжений выражаются через компоненты тензора деформации [2]:

$$\begin{cases} \sigma_{xx} = \frac{E}{1-v^2} \left(\frac{\partial v_x}{\partial x} + v \frac{\partial v_y}{\partial y} \right) = \frac{1}{\delta} f(y), & \text{при } x = 0; \\ u_y = 0 \end{cases}$$

$$\begin{cases} \sigma_{xx} = \frac{1}{1-v^2} \left(\frac{\partial v_x}{\partial x} + v \frac{\partial v_y}{\partial y} \right) = \frac{1}{\delta} F(y), & \text{при } x = l; \\ v_y = 0 \end{cases}$$

$$\begin{cases} \sigma_{yy} = \frac{E}{1-v^2} \left(\frac{\partial v_y}{\partial y} + v \frac{\partial v_x}{\partial x} \right) = 0, \\ \sigma_{xy} = \frac{E}{2(1+v)} \left(\frac{\partial v_y}{\partial x} + v \frac{\partial v_x}{\partial y} \right) = 0 \end{cases} \text{ при } y = \pm \frac{H}{2}.$$

Для отыскания функций $\tilde{v}_x(x, y)$ и $\tilde{v}_y(x, y)$ заменим их на $\tilde{v}_x(x, y)$ и $\tilde{v}_y(x, y)$:

$$\begin{aligned} v_x(x, y) &= \tilde{v}_x(x, y) + \frac{1-v^2}{E\delta} \left(\frac{x^2}{2l} (F(y) - f(y) + xf(y)) \right), \\ v_y(x, y) &= \tilde{v}_y(x, y). \end{aligned}$$

Подставляя эти функции в систему (2), получаем:

$$\begin{aligned} &\left(\frac{1}{1-v^2} \frac{\partial^2}{\partial x^2} + \frac{1}{2(1+v)} \frac{\partial^2}{\partial y^2} + \frac{\omega^2}{c^2} \right) \tilde{v}_x + \left(\frac{1}{2(1-v)} \frac{\partial^2}{\partial x \partial y} \right) \tilde{v}_y = \\ &= -\frac{1}{E\delta l} (F(y) - f(y)) - \frac{1-v}{2E\delta} \left(\frac{x^2}{2l} (F''(y) - f''(y)) + xf''(y) \right) - \\ &\quad - \frac{(1-v^2)\omega^2}{E\delta c^2} \left(\frac{x^2}{2l} (F(y) - f(y)) + xf(y) \right), \\ &\left(\frac{1}{2(1-v)} \frac{\partial^2}{\partial x \partial y} \right) \tilde{v}_x + \left(\frac{1}{1-v^2} \frac{\partial^2}{\partial y^2} + \frac{1}{2(1+v)} \frac{\partial^2}{\partial x^2} + \frac{\omega^2}{c^2} \right) \tilde{v}_y = \\ &= -\frac{1+v}{2E\delta} \left(\frac{x}{l} (F'(y) - f'(y)) + f'(y) \right). \end{aligned} \quad (3)$$

Перепишем граничные условия для функций $\tilde{v}_x(x, y)$ и $\tilde{v}_y(x, y)$:

$$\frac{E}{1-v^2} \left(\frac{\partial \tilde{v}_x}{\partial x} + v \frac{\partial \tilde{v}_y}{\partial y} \right) = 0, \quad \tilde{v}_y = 0 \text{ при } x = 0; \quad (4)$$

$$\frac{E}{1-v^2} \left(\frac{\partial \tilde{v}_x}{\partial x} + v \frac{\partial \tilde{v}_y}{\partial y} \right) = 0, \quad \tilde{v}_y = 0 \text{ при } x = l. \quad (5)$$

Решение системы (3) ищем в виде:

$$\tilde{v}_x(x, y) = V_{x0}(y) + \sum_{n=1}^{\infty} V_{xn}(y) \cos \frac{n\pi x}{l},$$

$$\tilde{v}_y(x, y) = \sum_{n=1}^{\infty} V_{yn}(y) \sin \frac{n\pi x}{l},$$

где $V_{x0}(y)$, $V_{xn}(y)$ и $V_{yn}(y)$ – коэффициенты Фурье [3].

При $n = 1, 2, \dots$

$$\begin{aligned} P(x, y) &= -\frac{1}{E\delta l} (F(y) - f(y)) - \\ &\quad - \frac{1-v}{2E\delta} \left(\frac{x^2}{2l} (F''(y) - f''(y)) + xf''(y) \right) - \\ &\quad - \frac{(1-v^2)\omega^2}{E\delta c^2} \left(\frac{x^2}{2l} (F(y) - f(y)) + xf(y) \right), \end{aligned}$$

$$Q(x, y) = -\frac{1+v}{2E\delta} \left(\frac{x}{l} (F'(y) - f'(y)) + f'(y) \right),$$

а при $n = 0$

$$P(x, y) = \left(\frac{1}{1-v^2} \frac{\partial^2}{\partial x^2} + \frac{1}{2(1+v)} \frac{\partial^2}{\partial y^2} + \frac{\omega^2}{c^2} \right) V_{x0}(y).$$

Умножив обе части уравнения (3), соответственно, на $\cos \frac{n\pi x}{l}$ и $\sin \frac{n\pi x}{l}$, проинтегрировав в интервале $[0, l]$, получим:

$$\begin{cases} \frac{1}{2(1+v)} V''_{xn}(y) + \left(\frac{\omega^2}{c^2} - \frac{1}{1-v^2} \left(\frac{n\pi}{l} \right)^2 \right) V_{xn}(y) + \\ + \frac{1}{2(1-v)} \frac{n\pi}{l} V'_{yn}(y) = p_n(y), \\ \frac{1}{1-v^2} V''_{yn}(y) + \left(\frac{\omega^2}{c^2} - \frac{1}{2(1+v)} \left(\frac{n\pi}{l} \right)^2 \right) V_{yn}(y) - \\ - \frac{1}{2(1-v)} \frac{n\pi}{l} V'_{yn}(y) = q_n(y), \end{cases} \quad (6)$$

$$\frac{1}{2(1+v)} V''_{x0}(y) + \frac{\omega^2}{c^2} V_{x0}(y) = p_0(y), \quad (7)$$

$$\begin{aligned} p_n(y) &= \frac{(1-v)l}{E\delta\pi^2 n^2} (f''(y) - (-1)^n F''(y)) + \\ &\quad + \frac{2(1+v)\omega^2}{c^2} (f(y) - (-1)^n F(y)), \end{aligned} \quad (8)$$

$$\begin{aligned} p_0(y) &= -\frac{1}{E\delta l} (F(y) - f(y)) - \\ &\quad - \frac{(1-v)l}{4E\delta} \left(\frac{1}{3} (F''(y) - f''(y)) + f''(y) \right) - \\ &\quad - \frac{(1-v^2)\omega^2 l}{2E\delta c^2} \left(\frac{1}{3} (F(y) - f(y)) + f(y) \right), \end{aligned} \quad (9)$$

$$q_n(y) = \frac{1+v}{E\delta\pi} \left(\frac{(-1)^n}{n} F'(y) - \frac{1}{n} f'(y) \right). \quad (10)$$

Как видим, это система обыкновенных дифференциальных уравнений с постоянными коэффициентами. Следовательно, граничные условия (4) и (5) для функций V_{x0} , V_{xn} и V_{yn} выполнены. Частные решения соответствующей однородной системы имеют вид $V_{x0} = e^{\lambda y}$, $V_{xn} = e^{\lambda y}$, $V_{yn} = e^{\lambda y}$.

Учитывая их, получаем следующие характеристические уравнения:

$$\frac{1}{2(1+v)} \lambda^2 + \frac{\omega^2}{c^2} = 0 \text{ при } n = 0;$$

$$\begin{aligned} \lambda^4 + \left(\frac{\omega^2}{c^2} (3 + 2v - v^2) - \frac{2\pi^2 n^2}{l^2} \right) \lambda^2 + \frac{2\omega^4}{c^4} (1+v)(1-v^2) - \\ - (3 + 2v - v^2) \left(\frac{n\pi\omega}{cl} \right)^2 + \left(\frac{n\pi}{l} \right)^4 = 0 \text{ при } n = 1, 2, \dots \end{aligned}$$

Общее решение однородной системы, если корни характеристического уравнения действительные и разные [4]:

$$V_{xn} = \sum_{i=1}^4 c_i e^{\lambda_i y}, \quad V_{yn} = \sum_{i=1}^4 c_i \varepsilon_i e^{\lambda_i y}, \\ V_{x0} = c_{10} \cos \lambda_1 y + c_{20} \sin \lambda_2 y,$$

где λ_i – корни характеристического уравнения; c_i, c_{i0} – постоянные при $i=1,2,3,4$,

$$\varepsilon_i = -\frac{2(1-v)}{n\pi\lambda_i} \left(\frac{\lambda_i^2}{2(1+v)} + \frac{\omega^2}{c^2} - \left(\frac{n\pi}{l} \right)^2 \frac{1}{1-v^2} \right).$$

Перейдем к рассмотрению неоднородной системы (6). Считаем, что c_i – переменная величина, т. е.

$$\sum_{i=1}^4 c'_i(y) e^{\lambda_i y} = 0, \quad \sum_{i=1}^4 c'_i(y) \varepsilon_i e^{\lambda_i y} = 0, \\ \sum_{i=1}^4 c'_i(y) \lambda_i e^{\lambda_i y} = 2(1+v) p_n(y), \quad (11) \\ \sum_{i=1}^4 c'_i(y) \varepsilon_i \lambda_i e^{\lambda_i y} = (1-v^2) q_n(y); \\ c'_{10}(y) \cos \alpha y + c'_{20}(y) \sin \alpha y = 0, \\ -c'_{10}(y) \sin \alpha y + c'_{20}(y) \cos \alpha y = \frac{1}{\alpha} p_0(y), \quad (12)$$

значения которой получаем методом вариации постоянных из $\alpha = \omega \sqrt{2(1+v)}/c$.

Решение системы уравнений (11) имеет вид: $c'_i(y) = \Delta_i / \Delta$ ($i=1,2,3,4$), где

$$\Delta = \begin{vmatrix} 1 & 1 & 1 & 1 \\ \varepsilon_1 & \varepsilon_2 & \varepsilon_3 & \varepsilon_4 \\ \lambda_1 & \lambda_2 & \lambda_3 & \lambda_4 \\ \varepsilon_1 \lambda_1 & \varepsilon_2 \lambda_2 & \varepsilon_3 \lambda_3 & \varepsilon_4 \lambda_4 \end{vmatrix} e^{(\lambda_1 + \lambda_2 + \lambda_3 + \lambda_4)y}.$$

Значение Δ_i находим из Δ , заменяя i -й столбец на свободные члены системы.

Таким образом,

$$c_{in}(y) = (-1)^{i+1} \times \\ \times \int_{-H/2}^y \left(\frac{2(1+v)\Delta_i^*}{\Delta} p_n(z) - \frac{(1-v^2)\Delta_i^{**}}{\Delta} - q_n(z) \right) e^{-\lambda_i z} dz, \quad (13)$$

$$\sum_{i=1}^4 c_{in}^* \left(\varepsilon_i \lambda_i - \frac{n\pi v}{l} \right) e^{-\tau_i} = A_1 \left(-\frac{H}{2} \right), \quad \sum_{i=1}^4 c_{in}^* \left(\varepsilon_i \lambda_i - \frac{n\pi v}{l} \right) e^{\tau_i} = A_1 \left(\frac{H}{2} \right), \\ \sum_{i=1}^4 c_{in}^* \left(\frac{n\pi}{l} \varepsilon_i + \lambda_i \right) e^{-\tau_i} = A_2 \left(-\frac{H}{2} \right), \quad \sum_{i=1}^4 c_{in}^* \left(\frac{n\pi}{l} \varepsilon_i + \lambda_i \right) e^{\tau_i} = A_2 \left(\frac{H}{2} \right),$$

где $\tau_i = \lambda_i H/2$, $i=1,2,3,4$,

$$c_{10}(y) = -\frac{1}{\alpha} \int_{-H/2}^y p_0(z) \sin \alpha z dz,$$

$$c_{20}(y) = \frac{1}{\alpha} \int_{-H/2}^y p_0(z) \cos \alpha z dz.$$

Входящие в эти формулы определители, соответственно, равны:

$$\Delta_1^* = \begin{vmatrix} \varepsilon_2 & \varepsilon_3 & \varepsilon_4 \\ \lambda_2 & \lambda_3 & \lambda_4 \\ \varepsilon_2 \lambda_2 & \varepsilon_3 \lambda_3 & \varepsilon_4 \lambda_4 \end{vmatrix}, \quad \Delta_1^{**} = \begin{vmatrix} 1 & 1 & 1 \\ \lambda_2 & \lambda_3 & \lambda_4 \\ \varepsilon_2 \lambda_2 & \varepsilon_3 \lambda_3 & \varepsilon_4 \lambda_4 \end{vmatrix},$$

$$\Delta_2^* = \begin{vmatrix} \varepsilon_1 & \varepsilon_3 & \varepsilon_4 \\ \lambda_1 & \lambda_3 & \lambda_4 \\ \varepsilon_1 \lambda_1 & \varepsilon_3 \lambda_3 & \varepsilon_4 \lambda_4 \end{vmatrix}, \quad \Delta_2^{**} = \begin{vmatrix} 1 & 1 & 1 \\ \lambda_1 & \lambda_3 & \lambda_4 \\ \varepsilon_1 \lambda_1 & \varepsilon_3 \lambda_3 & \varepsilon_4 \lambda_4 \end{vmatrix},$$

$$\Delta_3^* = \begin{vmatrix} \varepsilon_1 & \varepsilon_2 & \varepsilon_4 \\ \lambda_1 & \lambda_2 & \lambda_4 \\ \varepsilon_1 \lambda_1 & \varepsilon_2 \lambda_2 & \varepsilon_4 \lambda_4 \end{vmatrix}, \quad \Delta_3^{**} = \begin{vmatrix} 1 & 1 & 1 \\ \lambda_1 & \lambda_2 & \lambda_4 \\ \varepsilon_1 \lambda_1 & \varepsilon_2 \lambda_2 & \varepsilon_4 \lambda_4 \end{vmatrix},$$

$$\Delta_4^* = \begin{vmatrix} \varepsilon_1 & \varepsilon_2 & \varepsilon_3 \\ \lambda_1 & \lambda_2 & \lambda_3 \\ \varepsilon_1 \lambda_1 & \varepsilon_2 \lambda_2 & \varepsilon_3 \lambda_3 \end{vmatrix}, \quad \Delta_4^{**} = \begin{vmatrix} 1 & 1 & 1 \\ \lambda_1 & \lambda_2 & \lambda_3 \\ \varepsilon_1 \lambda_1 & \varepsilon_2 \lambda_2 & \varepsilon_3 \lambda_3 \end{vmatrix}.$$

Следовательно, общее решение неоднородной системы (6) и неоднородного уравнения (7) получим в виде:

$$V_{xn}(y) = \sum_{i=1}^4 (c_{in}^* + c_{in}(y)) e^{\lambda_i y}, \\ V_{yn}(y) = \sum_{i=1}^4 (c_{in}^* + c_{in}(y)) \varepsilon_i e^{\lambda_i y}, \\ V_{x0}(y) = \\ = c_{10}^* \cos \alpha y + c_{20}^* \sin \alpha y + \frac{1}{\alpha} \int_{-H/2}^y p_0(z) \sin(\alpha(y-z)) dz.$$

Здесь c_{in}^* , c_{10}^* , c_{20}^* – постоянные интегрирования, а $c_{in}(y)$ – функции, определяемые формулой (13).

И наконец, из граничных условий на кромках ленты при $y = \pm H/2$ получаем уравнения для определения постоянных интегрирования:

$$\begin{cases} A_1\left(-\frac{H}{2}\right) = K_1\left(-\frac{H}{2}\right) - \sum_{i=1}^4 \varepsilon_i R_{in}\left(-\frac{H}{2}\right), \\ A_2\left(-\frac{H}{2}\right) = K_2\left(-\frac{H}{2}\right) - \sum_{i=1}^4 R_{in}\left(-\frac{H}{2}\right), \\ A_1\left(\frac{H}{2}\right) = K_1\left(\frac{H}{2}\right) + \sum_{i=1}^4 \left(\left(\frac{n\pi v}{l} - \varepsilon_i \lambda_i \right) C_{in}\left(\frac{H}{2}\right) e^{\tau_i} - \varepsilon_i R_{in}\left(\frac{H}{2}\right) \right), \\ A_2\left(\frac{H}{2}\right) = K_2\left(\frac{H}{2}\right) - \sum_{i=1}^4 \left(\left(\frac{n\pi v}{l} \varepsilon_i + \lambda_i \right) C_{in}\left(\frac{H}{2}\right) e^{\tau_i} - \varepsilon_i R_{in}\left(\frac{H}{2}\right) \right), \end{cases} \quad (14)$$

$$K_1(y) = \frac{2(1-v^2)v}{E\delta\pi n}((-1)^n F(y) - f(y)), \quad K_2(y) = -\frac{2(1-v^2)l}{E\delta\pi^2 n^2}((-1)^n F'(y) - f'(y)), \quad (15)$$

$$R_{in}(y) = (-1)^{i+1} \left(\frac{2(1+v)\Delta_i^*}{\Delta} p_n(y) - \frac{(1-v^2)\Delta_i^{**}}{\Delta} q_n(y) \right),$$

$$C_{in}\left(\frac{H}{2}\right) = (-1)^{i+1} \int_{-H/2}^{H/2} \left(\frac{2(1+v)\Delta_i^*}{\Delta} p_n(z) - \frac{(1-v^2)\Delta_i^{**}}{\Delta} q_n(z) \right) e^{-\lambda_i z} dz.$$

Используя определитель этой системы

$$\Delta_\omega = \begin{vmatrix} \left(\varepsilon_1 \lambda_1 - \frac{n\pi v}{l} \right) e^{-\tau_1} \left(\varepsilon_2 \lambda_2 - \frac{n\pi v}{l} \right) e^{-\tau_2} \left(\varepsilon_3 \lambda_3 - \frac{n\pi v}{l} \right) e^{-\tau_3} \left(\varepsilon_4 \lambda_4 - \frac{n\pi v}{l} \right) e^{-\tau_4} \\ \left(\varepsilon_1 \lambda_1 - \frac{n\pi v}{l} \right) e^{\tau_1} \left(\varepsilon_2 \lambda_2 - \frac{n\pi v}{l} \right) e^{\tau_2} \left(\varepsilon_3 \lambda_3 - \frac{n\pi v}{l} \right) e^{\tau_3} \left(\varepsilon_4 \lambda_4 - \frac{n\pi v}{l} \right) e^{\tau_4} \\ \left(\frac{n\pi v}{l} \varepsilon_1 + \lambda_1 \right) e^{-\tau_1} \left(\frac{n\pi v}{l} \varepsilon_2 + \lambda_2 \right) e^{-\tau_2} \left(\frac{n\pi v}{l} \varepsilon_3 + \lambda_3 \right) e^{-\tau_3} \left(\frac{n\pi v}{l} \varepsilon_4 + \lambda_4 \right) e^{-\tau_4} \\ \left(\frac{n\pi v}{l} \varepsilon_1 + \lambda_1 \right) e^{\tau_1} \left(\frac{n\pi v}{l} \varepsilon_2 + \lambda_2 \right) e^{\tau_2} \left(\frac{n\pi v}{l} \varepsilon_3 + \lambda_3 \right) e^{\tau_3} \left(\frac{n\pi v}{l} \varepsilon_4 + \lambda_4 \right) e^{\tau_4} \end{vmatrix}$$

получаем уравнение частот собственных колебаний ленты $\Delta_\omega = 0$ при $\omega = 2\pi f$.

Частный случай, когда силы равны:
 $F(y) = f(y) = f_0 + f_\mu \sin(\mu y + \eta)$.

Здесь значения $p_0(y)$, $p_{2n-1}(y)$, $q_{2n-1}(y)$, соответствующие выражениям (8), (9), (10), будут следующими:

$$\begin{aligned} p_0(y) &= a_0 + b_0 \sin(\mu y + \eta), \\ p_{2n-1}(y) &= b_{2n-1} \sin(\mu y + \eta) + b_{2n-1}^*, \\ a_0 &= -\frac{(1-v^2)l\omega^2}{2E\delta c^2} f_0, \quad b_0 = \left(\frac{(1-v)l}{4E\delta} \mu^2 - \frac{(1-v^2)l\omega^2}{2E\delta c^2} \right) f_\mu, \end{aligned}$$

$$\begin{aligned} b_{2n-1}^* &= \frac{4(1-v^2)l\omega^2}{E\delta(2n-1)^2 c^2} f_0, \quad q_{2n-1}(y) = d_{2n-1} \cos(\mu y + \eta), \\ d_{2n-1} &= \frac{2(1+v)\mu}{E\delta(2n-1)\pi} f_\mu, \end{aligned}$$

а значения $K_1(y)$ и $K_2(y)$, соответствующие уравнениям (15):

$$K_1(y) = \frac{4(1-v^2)v}{E\delta(2n-1)\pi} (f_0 + f_\mu \sin(\mu y + \eta)),$$

$$K_2(y) = \frac{4(1-v^2)l}{E\delta(2n-1)^2 \pi^2} \mu f_\mu \cos(\mu y + \eta).$$

Система (6) в этом случае принимает вид:

$$\begin{cases} \frac{1}{2(1+v)} V''_{xn}(y) + \left(\frac{\omega^2}{c^2} - \frac{1}{1-v^2} \left(\frac{(2n-1)\pi}{l} \right)^2 \right) V_{xn}(y) + \\ + \frac{1}{2(1-v)} \frac{(2n-1)\pi}{l} V'_{yn}(y) = b_{2n-1} \sin(\mu y + \eta) + b_{2n-1}^*, \\ \frac{1}{1-v^2} V''_{yn}(y) + \frac{\omega^2}{c^2} + \frac{1}{2(1+v)} \left(\frac{(2n-1)\pi}{l} \right)^2 V_{yn}(y) - \\ - \frac{1}{2(1-v)} \frac{(2n-1)\pi}{l} V'_{xn}(y) = d_{2n-1} \cos(\mu y + \eta). \end{cases} \quad (16)$$

Частное решение системы найдем методом неопределенных коэффициентов:

$$M_n(y) = V_{x(2n-1)}^*(y) = B_{2n-1} \sin(\mu y + \eta) + B_{2n-1}^*,$$

$$N_n(y) = V_{y(2n-1)}^*(y) = D_{2n-1} \cos(\mu y + \eta).$$

Подставляя эти функции в систему (16), получим алгебраические уравнения относительно постоянных B_{2n-1} и D_{2n-1} :

$$\begin{cases} \left(-\frac{\mu^2}{2(1-v)} + \frac{\omega^2}{c^2} - \frac{1}{1-v^2} \left(\frac{(2n-1)\pi}{l} \right)^2 \right) B_{2n-1} - \\ - \frac{\mu}{2(1-v)} \frac{(2n-1)\pi}{l} D_{2n-1} = b_{2n-1}; \end{cases}$$

$$\begin{aligned} & \left(-\frac{\mu^2}{1-v^2} + \frac{\omega^2}{c^2} - \frac{1}{2(1+v)} \left(\frac{(2n-1)\pi}{l} \right)^2 \right) D_{2n-1} - \\ & - \frac{\mu}{2(1-v)} \frac{(2n-1)\pi}{l} B_{2n-1} = d_{2n-1}; \\ & \left(\frac{\omega^2}{c^2} - \frac{1}{1-v^2} \left(\frac{(2n-1)\pi}{l} \right)^2 \right) B_{2n-1}^* = b_{2n-1}^*. \end{aligned}$$

Определитель этой системы равен

$$\bar{\Delta} = \begin{vmatrix} -\frac{\mu^2}{2(1-v)} + \frac{\omega^2}{c^2} - \frac{1}{1-v^2} \left(\frac{(2n-1)\pi}{l} \right)^2 & -\frac{\mu}{2(1-v)} \frac{(2n-1)\pi}{l} \\ \frac{\mu}{2(1-v)} \frac{(2n-1)\pi}{l} & -\frac{\mu^2}{1-v^2} + \frac{\omega^2}{c^2} - \frac{1}{2(1+v)} \left(\frac{(2n-1)\pi}{l} \right)^2 \end{vmatrix}$$

$\bar{\Delta}_1$ и $\bar{\Delta}_2$ получаем из $\bar{\Delta}$, заменив 1-й и 11-й столбцы свободными членами.

Отсюда $B_{2n-1} = \bar{\Delta}_1 / \bar{\Delta}$, $D_{2n-1} = \bar{\Delta}_2 / \bar{\Delta}$, а общее решение неоднородной системы уравнений принимает вид:

$$\begin{aligned} V_{xn}(y) &= \sum_{i=1}^4 c_{in}^* e^{\lambda_i y} + B_{2n-1} \sin(\mu y + \eta) + B_{2n-1}^*, \\ V_{yn}(y) &= \sum_{i=1}^4 c_{in}^* \varepsilon_i e^{\lambda_i y} + D_{2n-1} \cos(\mu y + \eta). \end{aligned}$$

Границные условия записутся в виде системы (14), но с другими правыми частями. В данном случае

$$\begin{cases} A_1(y) = \frac{4(1-v^2)v}{E\delta(2n-1)\pi} f_0 + \frac{(2n-1)\pi v}{l} B_{2n-1}^* + \\ + \left(\frac{4(1-v^2)v}{E\delta(2n-1)\pi} f_\mu + \frac{(2n-1)\pi v}{l} B_{2n-1} - \mu D_{2n-1} \right) \sin(\mu y + \eta); \\ A_2(y) = \left(\frac{4(1-v^2)l}{E\delta(2n-1)^2 \pi^2} \mu f_\mu - \frac{(2n-1)\pi}{l} D_{2n-1} + \mu B_{2n-1} \right) \times \\ \times \cos(\mu y + \eta). \end{cases}$$

Другим способом находим и решение уравнения (7):

$$\frac{1}{2(1+v)} V''_{x0}(y) + \frac{\omega^2}{c^2} V_{x0}(y) = a_0 + b_0 \sin(\mu y + \eta). \quad (17)$$

Частное решение будем искать в виде $V_{x0}^*(y) = A_0 + B_0 \sin(\mu y + \eta)$.

Находим постоянные A_0 и B_0 :

$$\begin{aligned} & \left(-\frac{\mu^2}{2(1+v)} + \frac{\omega^2}{c^2} \right) B_0 \sin(\mu y + \eta) + \frac{\omega^2}{c^2} A_0 = \\ & = a_0 + b_0 \sin(\mu y + \eta); \end{aligned}$$

$$A_0 = \frac{c^2}{\omega^2} a_0 = -\frac{(1-v^2)l}{2E\delta} f_0; \quad B_0 = \frac{2(1+v)c^2}{2(1+v)\omega^2 - c^2\mu^2} b_0.$$

Общее решение уравнения (17) будет следующим:

$$V_{x0}(y) = c_{10}^* \cos \alpha y + c_{20}^* \sin \alpha y + A_0 + B_0 \sin(\mu y + \eta).$$

Определим граничные условия (12) для этого уравнения:

$$\begin{cases} -c_{10}^* \sin \frac{\alpha H}{2} + c_{20}^* \cos \frac{\alpha H}{2} = \\ = \frac{1}{\alpha} \left(-\frac{(1-v^2)l^2\mu}{2E\delta} f_\mu - \mu B_0 \right) \cos \left(\eta - \frac{\mu H}{2} \right), \\ c_{10}^* \sin \frac{\alpha H}{2} + c_{20}^* \cos \frac{\alpha H}{2} = \\ = \frac{1}{\alpha} \left(-\frac{(1-v^2)l^2\mu}{2E\delta} f_\mu - \mu B_0 \right) \cos \left(\eta + \frac{\mu H}{2} \right). \end{cases} \quad (18)$$

Решение данной системы:

$$c_{10}^* = \frac{1}{2\alpha \sin \frac{\alpha H}{2}} \left(A_0 \left(\frac{H}{2} \right) - A_0 \left(-\frac{H}{2} \right) \right),$$

$$c_{20}^* = \frac{1}{2\alpha \cos \frac{\alpha H}{2}} \left(A_0 \left(\frac{H}{2} \right) - A_0 \left(-\frac{H}{2} \right) \right),$$

где $\alpha = \frac{\omega}{l} \sqrt{2(1+v)}$, $A_0 \left(-\frac{H}{2} \right)$ и $A_0 \left(\frac{H}{2} \right)$ – правые части уравнений (18).

Как видим, аналитическое исследование продолжать далее становится крайне затруднительным из-за громоздкости формул. Поэтому для окончания расчетов целесообразно воспользоваться ЭВМ. Отметим, что систему, состоящую из роликов и натянутой на них ленты (рис. 3), нецелесообразно исследовать с помощью волновых уравнений, т. к. масса ленты является крайне незначительной по сравнению с массой роликов. Физически адекватная модель системы вполне исчерпывается эквивалентной системой из масс (роликов), установленных на пружинах (отрезках ленты) (рис. 4).

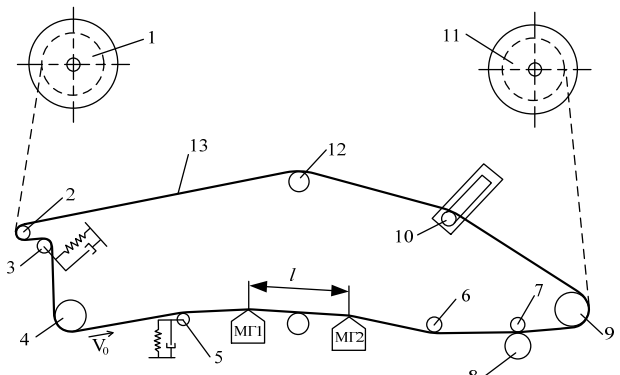
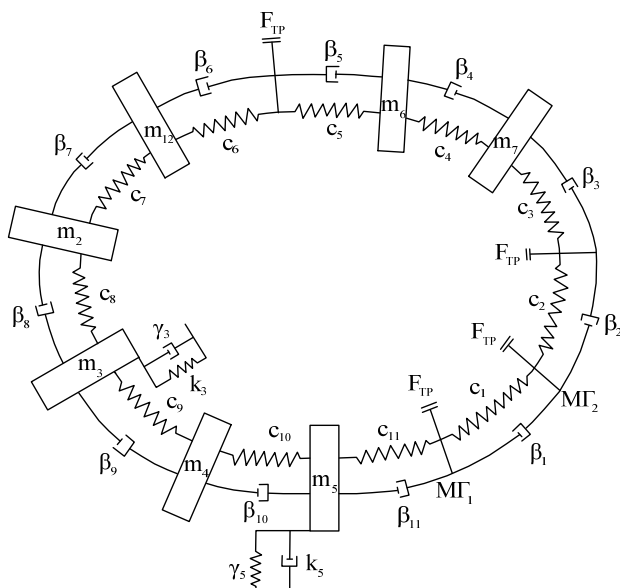


Рис. 3. Кинематическая схема лентопротяжного механизма: МГ – измерительные магнитные головки; 1 – подающий узел; 2, 12 – направляющие ролики; 3 – указатель натяжения (направляющая стойка); 4, 9 – инерционные ролики; 5 – развязывающий механический фильтр (направляющая стойка); 6 – направляющая стойка; 7 – ведущий вал; 8 – лентопротяжный ролик; 10 – натяжной ролик; 11 – приемный узел; 13 – магнитная лента; $\overline{V_0}$ – средняя скорость протяжки



Rис. 4. Динамическая модель исследуемого лентопротяжного механизма: c_1, \dots, c_{11} – коэффициенты упругости отрезков магнитной ленты; $\beta_1, \dots, \beta_{11}$ – коэффициенты демпфирования отрезков магнитной ленты; F_{tp} – силы трения между головками, стойками и магнитной лентой; m_1, \dots, m_{11} – массы соответствующих роликов; γ_3, γ_5 – коэффициенты демпфирования пружин; k_3, k_5 – коэффициенты упругости пружин; l – отрезок ленты между головками, для которого подсчитываются частоты собственных колебаний

Библиографические ссылки

- Ландау Л. Д., Лишниц Е. М. Теория упругости. – Изд. 5-е. – М. : Физматлит, 2003. – 264 с.
- Там же.
- Степанов В. В. Курс дифференциальных уравнений. – М. : Физматлит, 1959. – 468 с.
- Краснов М. А., Киселев А. И., Макаренко Г. И. Функции комплексного переменного. Операционное исчисление. – М. : Наука, 1971. – 256 с.

M. V. Danilov, PhD in Engineering, DSc Applicant, Kalashnikov ISTU

D. R. Shishov, Post-graduate, Kalashnikov ISTU

V. E. Lyalin, DSc in Engineering, Doctor of Economics, Professor, Kalashnikov ISTU

Mathematical modeling of tape deformation under its dynamic loading

The precise solution of two-dimensional plane problem of dynamic theory of elasticity has been given for a thin plate with two free and two loaded edges. The influence of geometrical and mechanical parameters of the tape on the high-frequency oscillations is investigated. Formulas for establishing the vibration frequency band have been derived.

Keywords: perfectly elastic tape, tape deformation, dynamics of the tape.

Получено: 27.02.15